



# 혜태로폴리酸系 化合物과 메타크롤레인의 酸化觸媒

李 華 榮

서울大學校 工科大學 化學工學科

## Heteropoly Compounds and Oxidation Catalysts for Methacrolein

Wha Young Lee

Department of Chemical Engineering  
Seoul National University, Seoul 132, Korea

### 요 약

혜태로폴리산 및 그 화합물들의 구조, 물리적 및 화학적 성질, 열적특성, 명명법, 제법, 촉매작용 등에 대해서 소개하고 최근특허상에 나타난 메타크롤레인의 산화에 대한 촉매와 반응조건, 특히 혜태로폴리 화합물이 메타크로레인의 산화에서 보여주는 촉매적인 특성에 대하여 검토하였다.

### Abstract

The structure, preparation methods, physical and chemical properties, thermal characteristics and general catalysis of the heteropoly acids and their compounds are introduced. The catalysts of the oxidation of methacrolein to methacrylic acid presented in the recent patents and papers are analyzed and investigated in a fundamental and practical research aspect with emphasis on the heteropoly compounds.

### 1. 緒 論

탕그스텐酸 이온, 모리브덴酸 이온 等이 포함된 수용액에 鎳酸을 加하면 복잡한 縮合反應이 일어나며 이때 生成되는 物質을 이소폴리酸(Iso-

poly Acid)이라고 稱稱하며 이와는 달리 二種以上的 다른 酸基가 酸素原子를 共有해서 생기는 縮合酸을 혜태로폴리酸(Heteropoly Acid)이라고 한다.

혜태로폴리酸에 관한 연구는 1934年 J.F. Keggin<sup>10</sup>이 소위 "Keggin 구조"라고 불리우는 12-

탕그스토린酸系 헤테로폴리 隱이온의 縮合構造를 X-線回折에 의해 究明한 이래 本格化 되었으며 無機化學이나 分析化學 分野의 研究對象으로서 알려져 왔다.

近年에 와서 아크릴로나트릴 合成時 Ammonoxidation 用 觸媒로서 획기적 발명이라고 하는 Sōhio 觸媒가 헤테로폴리酸鹽 系統의 린모리브렌酸 비스머스란 사실이 밝혀진 이래 헤테로폴리 산화합물이 觸媒로서 보다 중요한 關必을 갖게 되었다. 특히 프로필렌은 直接空氣酸化에 의해서 아크릴애인이나 아크릴酸을 合成하는 製法이 工業化 되었으나 이소부텐의 酸化에 의한 메타크롤레인이나 메타크롤레인의 酸化에 의한 메타크릴酸의 製法은 工業化에 成功되지 못하여 헤테로폴리酸系統의 化合物이 메타크롤레인의 酸化用 觸媒로서 가장 有希望한 것으로 기대를 걸고 상당한 研究가 이 방면에 集中되고 있다. 이와 같은 背景으로 부터 헤테로폴리化合物의 構造, 物理化學的特性, 製造方法 等을 소개하고 最近 特許上에 나타난 研究動向을 조사하여 헤테로폴리酸系 化合物과 이와 類似한 酸化物 觸媒에 의한 메타크롬애인의 酸化에 關한 研究에 對하여 소

개하고자 한다.

Table 1. Elements Capable of Acting as Central Atoms in Heteropoly Compounds

Group	Element <sup>a</sup>
I	H <sup>b</sup> , Cu <sup>+2</sup>
II	Be <sup>+2</sup> , Zn <sup>+2</sup>
III	B <sup>+3</sup> , Al <sup>+3</sup> , Ga <sup>+3</sup>
IV	Si <sup>+4</sup> , Ge <sup>+4</sup> , Sn <sup>+4</sup> (?), Ce <sup>+3</sup> , Ce <sup>+4</sup> , Ti <sup>+4</sup> , Zr <sup>+4</sup> , Th <sup>+4</sup> , Hf <sup>+4</sup>
V	N <sup>+5</sup> (?), P <sup>+3</sup> , P <sup>+5</sup> , As <sup>+3</sup> , As <sup>+5</sup> , V <sup>+4</sup> (?), V <sup>+5</sup> , Sb <sup>+3</sup> (?), Bi <sup>+3</sup>
VI	Cr <sup>+3</sup> , S <sup>+4</sup> , Se <sup>+4</sup> , Te <sup>+4</sup> , Te <sup>+6</sup>
VII	Mn <sup>+2</sup> , Mn <sup>+4</sup> , I <sup>+7</sup>
VIII	Fe <sup>+3</sup> , Co <sup>+2</sup> , Co <sup>+3</sup> , Ni <sup>+2</sup> , Ni <sup>+4</sup> , Rh <sup>+3</sup> , Pt <sup>+4</sup> (?)

<sup>a</sup>A question mark after the element denotes doubtful existence of a heteropoly anion.

<sup>b</sup>Two hydrogen ions were shown to be attached to the oxygen atoms within the tetrahedral cavity of the Keggin structure present in the metatungstate ion, [H<sub>3</sub>W<sub>12</sub>O<sub>40</sub>]<sup>-6</sup> an isopoly species.

Table 2. Principal Species of Heteropolytungstates

Number of Atoms X : Mo	Principal Central Atoms	Typical Formulas	Structure by X-ray
1 : 12	Series A : N <sup>+5</sup> (?), P <sup>+5</sup> , As <sup>+5</sup> , Si <sup>+4</sup> , Ge <sup>+4</sup> , Sn <sup>+4</sup> (?), Ti <sup>+4</sup> , Zr <sup>+4</sup>	[X <sup>+n</sup> Mo <sub>12</sub> O <sub>40</sub> ] <sup>-(8-n)</sup>	Known
	Series B : Ce <sup>+4</sup> , Th <sup>+4</sup> , Sn <sup>+4</sup> (?)	[X <sup>+n</sup> Mo <sub>12</sub> O <sub>42</sub> ] <sup>-(12-n)</sup>	Known
1 : 11	P <sup>+5</sup> , As <sup>+5</sup> , Ge <sup>+4</sup>	(X <sup>+n</sup> Mo <sub>11</sub> O <sub>39</sub> ) <sup>-(12-n)</sup>	Unknown
		(Possibly dimeric)	
1 : 10	P <sup>+5</sup> , As <sup>+5</sup> , Pt <sup>+4</sup> (?)	[X <sup>+n</sup> Mo <sub>10</sub> O <sub>x</sub> ] <sup>-(2x-60-n)</sup>	Unknown
1 : 9	Mn <sup>+4</sup> , Ni <sup>+4</sup>	[X <sup>+n</sup> Mo <sub>9</sub> O <sub>32</sub> ] <sup>-(10-n)</sup>	Known
1 : 6	Series A : Te <sup>+6</sup> , I <sup>+7</sup>	[X <sup>+n</sup> Mo <sub>6</sub> O <sub>24</sub> ] <sup>-(12-n)</sup>	Known
	Series B : Co <sup>+3</sup> , Al <sup>+3</sup> , Cr <sup>+3</sup> , Fe <sup>+3</sup> , Rh <sup>+3</sup> , Ga <sup>+3</sup> , Ni <sup>+2</sup>	[X <sup>+n</sup> Mo <sub>6</sub> O <sub>24</sub> H <sub>6</sub> ] <sup>-(6-n)</sup>	Known
2 : 18	P <sup>+5</sup> , As <sup>+5</sup>	[X <sub>2</sub> <sup>+n</sup> Mo <sub>18</sub> O <sub>62</sub> ] <sup>-(16-2n)</sup>	Known
2 : 17	P <sup>+5</sup> , As <sup>+5</sup>	[X <sub>2</sub> <sup>+n</sup> Mo <sub>17</sub> O <sub>x</sub> ] <sup>-(2x-102-2n)</sup>	Unknown
1m : 6m (m unknown)	Co <sup>+2</sup> , Mn <sup>+2</sup> , Cu <sup>+2</sup> , Ce <sup>+4</sup> , P <sup>+3</sup> , As <sup>+3</sup> , P <sup>+5</sup>	[X <sup>+n</sup> Mo <sub>6</sub> O <sub>x</sub> ] <sub>m</sub> <sup>-(2x-36-n)</sup>	Unknown

Table 3. Principal Species of Heteropolytungstates

Number of Atoms X : W	Principal Central Atoms	Typical Formulas	Structure by X-ray
1 : 12	$P^{+5}, As^{+5}, Si^{+4}, Ge^{+4}, Ti^{+4}, Co^{+3}, Fe^{+3}, Al^{+3}, Cr^{+3}, Ga^{+3}, Te^{+4}, B^{+3}$	$[X^{+n}W_{12}O_{40}]^{-(8-n)}$	Known
1 : 10	$Si^{+4}, Pt^{+4}$	$[X^{+n}W_{10}O_x]^{-(2x-60-n)}$	Unknown
1 : 9	$Be^{+2}$	$[X^{+2}W_9O_{31}]^{-8}$	Unknown
1 : 6	Series A : $Te^{+6}, I^{+7}$	$[X^{+n}W_6O_{24}]^{-(12-n)}$	Isomorphous with -6-molybdates
	Series B : $Ni^{+2}, Ga^{+3}$	$[X^{+n}W_6O_{24}H_6]^{-(6-n)}$	Known
2 : 18	$P^{+5}, As^{+5}$	$[X_2^{+n}W_{18}O_{62}]^{-(12-n)}$	Known
2 : 17	$P^{+5}, As^{+5}$	$[X_2^{+n}W_{17}O_x]^{-(2x-102-n)}$	Unknown
1 m : 6 m (m unknown)	$As^{+3}, P^{+3}$	$[X^{+n}W_6O_x]_m^{-(2x-36-n)}$	Unknown

## 2. 헤테로폴리酸 및 그 化合物

### 2.1. 構 造<sup>2,3,4,5)</sup>

헤테로폴리酸은 P, Si, As, B, Al 등과 같은 元素들의 한 원자에 W이나 Mo과 같은 元素가 몇個結合되고 이 元素들의 주변에 많은 산소원자들이 結合된 化合物로서 P, Si等의 元素를 中心原子(Central Atom)라고 한다. 中心原子로서 作用할 수 있는 元素들은 Table 1<sup>2)</sup>과 같다.

헤테로폴리陰이온은 하나 또는 몇個의 中心原子 주변에 2~18個의 6價 Mo 또는 W, 또는

5價의 V이나 Nb等을 포함하고 있는데 지금까지 알려진 몇가지 헤테로폴리酸의 縮合形態는 Table 2 및 Table 3<sup>2)</sup>에 정리 되었다.

X-線에 의해 밝혀진 헤테로폴리化合物의 構造를 보면 中心原子와 配位原子의 比는 1:12, 1:9, 1:6 및 2:18로 되어 있으며 代表的인例로서 Keggin構造로 알려진 12-모리브도린酸(12-Molybdochosphoric Acid)의 結晶構造를 Fig. 1~Fig. 5에 나타내었다. 即 Fig. 1, 2 및 3에서 보는 바와 같이 Mo이나 W이 正八面體의 中心에 있고 O原子가 八面體의 꼭지點에 위치하여  $MoO_6$ 나  $WO_6$ 를 形成하며 이 八面體는 다른  $MoO_6$ 나  $WO_6$  八面體와 모서리 또는

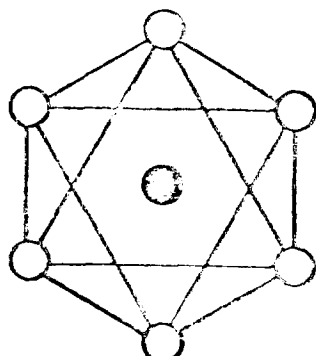


Figure 1. Locations of the centers of the atoms in an  $MoO_4$  octahedron. The black circle represents molybdenum, the white circles oxygen

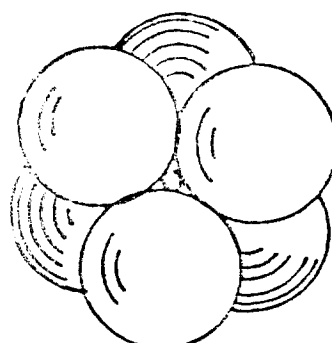


Figure 2. Diagram of an  $MoO_4$  octahedron. The vertices represent the centers of the six oxygen atoms

邊을 共有하여 Fig. 4 와 같이  $\text{Mo}_2\text{O}_{10}$ (실제는存在하지 않음)을 만들며, 이들이 모여서 Fig. 5 와 같은 多面體를 만든다. 各 多面體에는 中心原子가 있어서  $\text{MoO}_6$ 나  $\text{WO}_6$  八面體에 둘러싸여 있고 이들과 모서리 또는 邊을 共有 한다. 大竹等<sup>5)</sup>이 粉末法에 의해 X-線 回折測定한 Keggin 構造를 갖는 몇 가지 헤테로폴리酸의 實測結果를 Fig. 6에 圖示 하였다. Fig. 6를 보면 回折線의 위치나 強度은 모두 비슷한 것을 알 수 있다. 回折角  $2\theta$ 가  $6^\circ \sim 10^\circ$ 의 低角度部分 특히  $8^\circ$ 에 最大強度의 peak가 있다. 이것이 헤테로폴리酸結晶의 特性回折線으로 보인다.

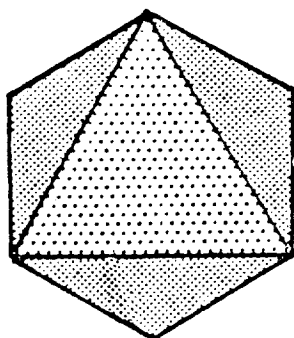


Figure 3. Diagram of an  $\text{MoO}_4$  octahedron to the same scale as Figures 1 and 2 but with the relative sizes of the atoms indicated. The molybdenum atom is the small black circle

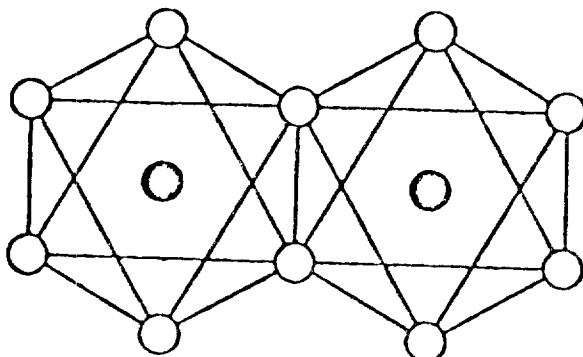
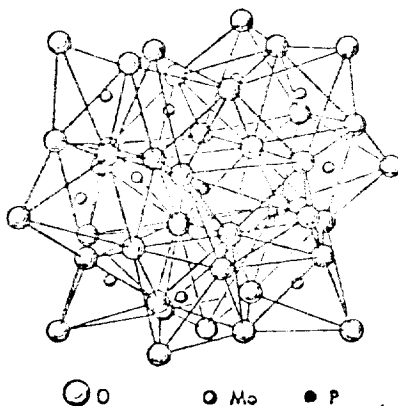
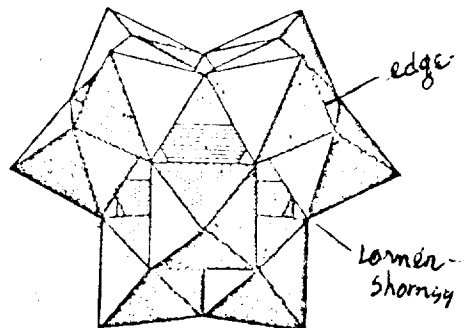


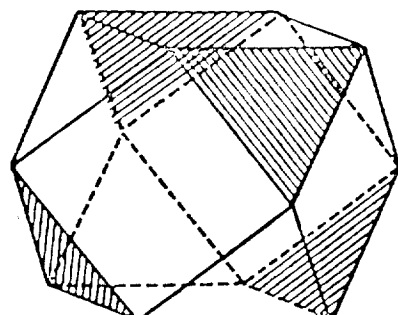
Figure 4. Two octahedra sharing an edge to form a structural unit  $\text{Mo}_2\text{O}_{10}$ (This unit does not actually exist.)



(a) Spatial diagram of the 12-molybdophosphate(V) anion showing the locations of the centers of the various atoms



(b) Polyhedral diagram of the 12-molybdophosphate(V) anion to the same scale as Figure 6(a); note the central tetrahedron



(c) Cubooctahedron diagram of the  $[\text{PMo}_{12}\text{O}_{40}]^{-3}$  or  $[\text{PW}_{12}\text{O}_{40}]^{-3}$  anion; the molybdenum or tungsten atoms are at the corners of the polyhedron and the oxygen atoms are at the midpoints of the edges

Figure 5. Spatial, polyhedral, and cubooctahedron diagrams of the 12-molybdophosphate(V) anion

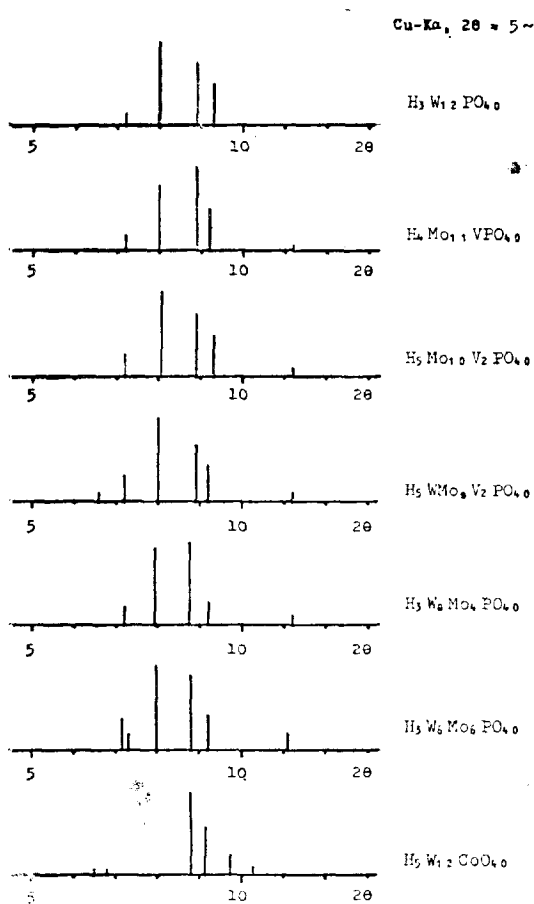


Figure 6. Isomorphism by X-Ray Diffraction of the Heteropoly Acids

## 2. 一般的性質<sup>2)</sup>

헤테로폴리 브리브렌酸鹽이나 텡그스텐酸鹽들은 약간씩固有의特性을 가지고 있는 하지만一般的으로 다음과 같은性質을 갖고 있다.

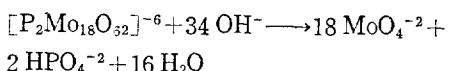
1. 헤테로폴리모리브렌酸鹽은分子量이 큰無機電解質이다.
2. 헤테로폴리酸과 그鹽들의陰이온은 물에대한溶解力이극히크며몇가지有機溶媒, 특히산소와結合되어있는에테르,알코홀및키톤에잘용해되는성질을갖고있다.
3. 헤테로폴리酸과그鹽들은多量의結晶水를갖고있다.
4. 헤테로폴리化合物들은진한색채를갖고

있다.

5. 몇가지 헤테로폴리化合物 특히 헤테로폴리모리브렌酸鹽은强한酸化劑로서 이것이還元되면짙은青色으로변하고이還元된물질은다시還元劑로서作用하여酸化당하면陰이온의源色으로되돌아간다. 即, 酸化還元의性質을갖는다.

6. 最近의研究<sup>6)</sup>에의하면 헤테로폴리몰리브덴酸과텅그스텐酸은强酸으로서같은酸化狀態의몰리브덴酸이나텅그스텐酸보다强한酸性을나타낸다.

7. 헤테로폴리化合物의陰이온은强한鹽基性溶液에서分解된다.



8. 特定한條件과pH범위에서大部分의 헤테로폴리몰리브덴酸鹽과텅그스텐酸鹽의溶液은特種의陰이온을갖는다.

## 2.3 命名法

헤테로폴리化合物의命名法은IUC에서제정한것과이것을改良해서Tsigdinos<sup>2)</sup>가提案한방법이公式的으로사용되고있는데그例는Table 4와같다.

Tsigdinos의命名法에서中心原子뒤의괄호속의로마숫자는中心原子의酸化狀態를표시하며molybdo, tungsto와같은接頭語는配位原子를이태리體의oct, tet等은center原子와配位原子의立體化學의構造(octahedral, tetrahedral)를나타낸다. 또한아라비아숫자는center原子數와配位原子數의比를表示한다.

## 2.4. 製法<sup>2,5,7,8,9,10,11,12)</sup>

헤테로폴리몰리브덴酸鹽과텅그스텐酸鹽들은酸性solution에서原料oxy酸을加熱하여製造한다. center原子가轉移金屬이아닌경우에는溶解性몰리브덴鹽이나텅그스텐鹽을center原子가들어있는溶解性鹽과함께용해시키고적당한酸性범위의pH가되도록한다. center原子가轉移金屬인경우에는그元素의單一鹽을용해성몰리브덴鹽이나텅그스텐鹽과함께적당한pH의solution에섞어加熱하여製造한다. 遊離酸은다음

Table 4. Nomenclature of Heteropoly Compounds

Formula	Tentative IUC Names	Proposed Names
$\text{Na}_3[\text{P}^{+5}\text{Mo}_{12}\text{O}_{40}]$	trisodium dodecamolybdophosphate	sodium 12-oct-molybdo-tet-phosphate(V) <sup>3</sup>
$(\text{NH}_4)_6[\text{P}_2^{+5}\text{Mo}_{18}\text{O}_{62}]$	hexammonium 18-molybdodiphosphate(V)	dimeric ammonium 9-oct-molybdo-tet-phosphate(V) <sup>6</sup>
$\text{Na}_4[\text{NiW}_6\text{O}_{24}\text{H}_6]$	tetrasodium hexawolframonickelate(II)	sodium 6-oct-tungsto-oct-nickelate(II) <sup>4</sup>
$(\text{NH}_4)_6[\text{Co}_2^{+3}\text{Mo}_{10}\text{O}_{36}]$	hexammonium 10-molybdodicobaltate(III)	dimeric ammonium 5-oct-molybdo- $\mu$ -oct-dicobaltate(III) <sup>6</sup>
$\text{Cs}_3\text{H}[\text{SiW}_{12}\text{O}_{40}]$	tricesium monohydrogen dodecawolf-ramosilicate	cesium monohydrogen 12-oct-tungsto-tet-silicate(V) <sup>4</sup>
$\text{H}_4[\text{SiW}_{12}\text{O}_{40}]$	12-wolfram silicic acid	12-oct-tungsto-tet-silicic(V) <sup>4</sup> acid
$\text{Na}_8[\text{Ce}^{+4}\text{Mo}_{12}\text{O}_{42}]$	octasodium 12-molybdocerate(V)	sodium 12-oct-molybdocerate(V) <sup>8</sup>
$\text{K}_5[\text{P}^{+5}\text{Mo}_{10}\text{V}_2\text{O}_{40}]$	pentapotassium decamolybdodivanado-phosphate	10-oct-molybdo-2-oct-vanado-tet-phosphate(V) <sup>5</sup>

과 같은 방법으로 製造 한다.

1. 單一酸을 적당량 혼합하는 方法
2. 酸性 水溶液으로 부터 에테르로 抽出하는 方法<sup>13)</sup>
3. 헤테로폴리鹽의 이온交換法<sup>14)</sup>

참고로 大竹<sup>5)</sup>가 製造한 여러가지 헤테로폴리酸 製造時 사용한 각 反應物質의 量을 Table 5 와 Table 6에 收錄 하였다.

## 2.5 熱的 特性

헤테로폴리酸鹽들의 陰이온 사이에는 상당히 큰 틈이 있어서 多量의 結晶水分子를 含有하고

Table 5. Synthesis of 12-Tungstomolybdophosphoric Acids

Heteropoly Acid	$\text{Na}_2\text{WO}_4$	$\text{Na}_2\text{MoO}_4$	Materials used*	$\text{H}_2\text{O}$	$\text{H}_2\text{SO}_4$
$\text{H}_3\text{W}_{11}\text{Mo}_1\text{PO}_{40}$	60.5 g	4.03 g	5.97 g	120 mL	10 mL
$\text{H}_3\text{W}_8\text{Mo}_4\text{PO}_{40}$	55.0	20.2	7.46	150	20
$\text{H}_3\text{W}_6\text{Mo}_6\text{PO}_{40}$	41.2	30.2	7.46	150	20
$\text{H}_3\text{W}_4\text{Mo}_8\text{PO}_{40}$	27.5	40.3	7.46	150	20
$\text{H}_3\text{W}_2\text{Mo}_{10}\text{PO}_{40}$	13.7	50.4	7.46	150	20
$\text{H}_3\text{W}_1\text{Mo}_{11}\text{PO}_{40}$	6.87	55.5	7.46	150	20

\* $\text{Na}_2\text{WO}_4$  and  $\text{Na}_2\text{MoO}_4$  are dihydrates,  
 $\text{Na}_2\text{HPO}_4$  12 hydrate reagent,  $\text{H}_2\text{SO}_4$   $d=1.8$

Table 6. Synthesis of 12-Molybdovanadophosphoric Acids

Heteropoly Acids	$\text{Na}_2\text{MoO}_4$	Materials used <sup>a)</sup>	$\text{H}_2\text{O}$
$\text{H}_2\text{Mo}_{12}\text{V}_0\text{PO}_{40}$	58.1 g	0.0 g	7.2 g
$\text{H}_4\text{Mo}_{11}\text{V}_1\text{PO}_{40}$	66.5	3.9	8.9
$\text{H}_5\text{Mo}_{10}\text{V}_2\text{PO}_{40}$	60.5	15.8	8.9
$\text{H}_6\text{Mo}_9\text{V}_3\text{PO}_{40}$	54.5	47.4	8.9

a)  $\text{Na}_2\text{MoO}_4$  and  $\text{NaVO}_3$  are dihydrates,  $\text{Na}_2\text{HPO}_4$  12-hydrate reagents

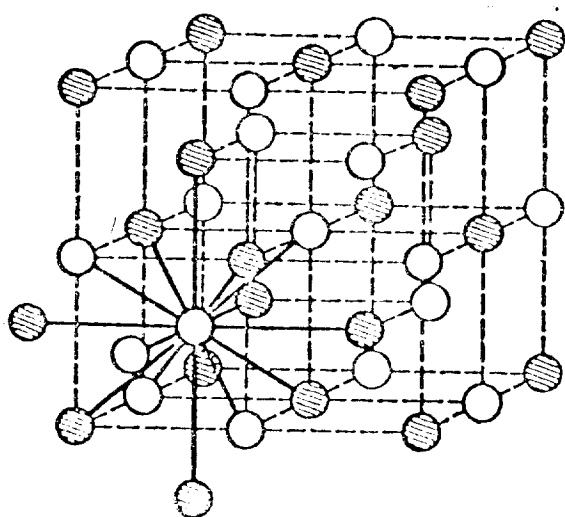


Figure 7. Structure of crystalline  $\text{H}_3[\text{PW}_{12}\text{O}_{40}] \cdot 29\text{H}_2\text{O}$ . Open circles represented centers of the  $[\text{PW}_{12}\text{O}_{40}]^{3-}$  units, and shaded circles the centers of the  $[\text{H}_3 \cdot 29\text{H}_2\text{O}]^{+3}$  units

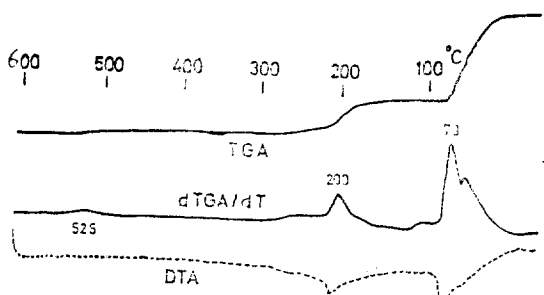
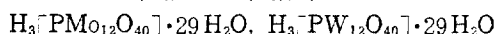


Figure 8. Thermal Behavior of 12-Tungstophosphoric Acid

있다. 結晶水의 수자는 化合物의 種類에 따라 다르지만 12-몰리 브도린酸이나 12-텅그스토린酸의 경우에는 29 個의 結晶水가 있다.



12-텅그스토린水和物의 結晶構造를 X-線 回折로 測定하면 Fig. 7<sup>2)</sup>과 같다. 이 結晶水에 대하여 TGA, DTA로 測定한 結果(Fig. 8)로 해석하면 모든 結晶water가 온도上승에 따라 連續적으로 脱水되지 않고 段階的으로 脱水되는 것으로 보아 proton과의 相互作用의 強度가 다른 몇段階를 거쳐서 結晶water가 分解되는 것으로 볼 수

있다. 大部分의 結晶water는 沸石水(zeolitic water)이지만 몇개의 結晶water는 非沸石水(nonzeolitic water)로서 NMR 測定結果<sup>3,15)</sup> proton의  $\text{H}_3\text{O}^+$ 이 온으로 存在하는 것으로 判明되었으며 FT-IR을 이용하여 피리딘의 吸着으로 부터 헤테로폴리酸에는 Brøsted酸이 强酸으로 存在한다는 사실이 最近에 Yoneda와 Misono<sup>16,17)</sup> 等에 의해研究發表되었다.

高溫에서는 어느 헤테로폴리化合物이나 第四脫水過程을 거쳐서 無水狀態가 되며 보다 高溫

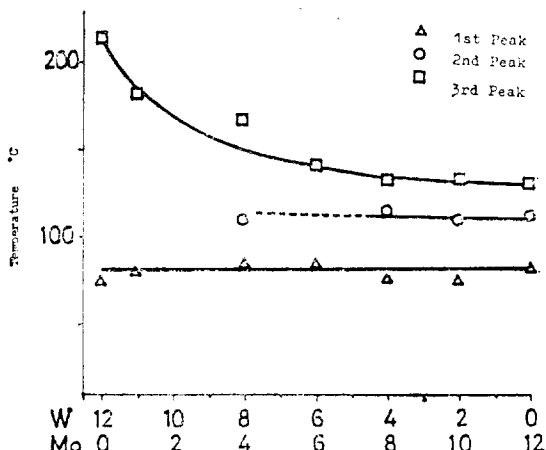


Figure 9. DTA Dehydration Peak Temperatures of 12-Tungstomolybdophosphoric Heteropoly Acids

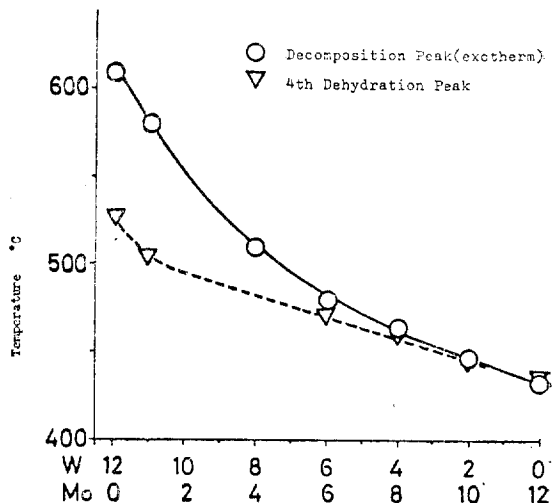


Figure 10. DTA Peak Temperatures of 12-Tungstomolybdophosphoric Heteropoly Acids above 300°C

Table 7. Thermal Behavior of 12-Molybdochophosphates

Compounds	250	Temperature of Heating (°C)			400	DTA Data (°C) Endo	Exo
		300	350	400			
H <sub>3</sub> [PMo <sub>12</sub> O <sub>40</sub> ] <sup>a)</sup>	Stable	Stable	Stable	Un.	25~75	400~420	
					80~105		
					120~150		
Co <sub>3</sub> [PMo <sub>12</sub> O <sub>40</sub> ] <sub>2</sub> <sup>b)</sup>	Stable		Partly Stable	Un.	130~175	370~450	
					25~100		
					175~225		
Ni <sub>3</sub> [PMo <sub>12</sub> O <sub>40</sub> ] <sub>2</sub> <sup>c)</sup>	Stable	Stable	Just Stable		25~110	390~420	
					160~240		
La <sub>3</sub> [PMo <sub>12</sub> O <sub>40</sub> ] <sup>d)</sup>	Stable	Stable	Just Stable	Un.	25~75	above 315 C	
					80~90	complex DTA	
					150~255		
					270~300		
Mn <sub>3</sub> [PMo <sub>12</sub> O <sub>40</sub> ] <sub>2</sub> <sup>e)</sup>	Stable	Stable	Unstable		25~80	330~420	
					95~115		
					115~		
Cu <sub>3</sub> [PMo <sub>12</sub> O <sub>40</sub> ] <sub>2</sub> <sup>f)</sup>	Stable	Stable	Stable		25~80	380~430	
					100~115		
					185~215		
					190~250		

a) 16.5H<sub>2</sub>O b) 34H<sub>2</sub>O c) 34H<sub>2</sub>O d) 10H<sub>2</sub>O e) 17H<sub>2</sub>O f) 25H<sub>2</sub>O

에서는 分解反應이 일어나는 發熱 peak에 도달 한다. W<sub>12-y</sub>Mo<sub>y</sub>P 系 混合配位種의 第3脫水 까지의 脫水溫度와 第4脫水 및 分解溫度를 Fig. 9 및 Fig. 10에 記錄하였다. 이들로 부터 보면 配位元素에 따라 특징 있는 변화를 하는 것을 알 수 있다.

Proton 和된 結晶水는 固體酸 觸媒로서 커다란 意味를 갖고 있으며, 觸媒로서의 定定性에 絶對的인 影割을 한다. 12-몰리보도린酸鹽들의 热的特性은 Table 7에 收錄하였다.

## 2.6 觸媒作用

혜테로폴리酸과 그 盐들은一般的的性質 (5)項과 (6)項에서 설명한 바와 같이 強한 固體酸이며 同時に 酸化還元의 性質을 갖고 있고 中心原子와 配位原子의 元素들이 多樣하여 여러가지 觸媒로서 活用될 수 있는 것으로 期待되고 있다. 지금까지 특히로 發表된 觸媒로서의 應用 例는

Table 8<sup>g)</sup>과 같다.

## 3. 메타크롤레인 酸化觸媒

Table 8에서 보는 바와 같이 혜테로폴리化合物의 觸媒로서의 應用은 大部分이 酸化觸媒 特히 低級올레핀과 알데하이드의 酸化에 대한 것 들이다. 現在까지 프로필렌의 酸化에 의한 아크릴레이트의 合成에 사용되는 觸媒는 틴모리브엔酸을 바탕으로 하여 Fe, Ni, Co 等의 鐵族 및 W, Sn, Sb, Cr, Mn, As 等이 포함된 高活性의 觸媒로서 文獻<sup>56,57,58,59,60)</sup>에 의하면 아크릴레이트의 比率이 80% 以上으로 이미 工業化 되어 있다.

한편 아크릴레이트의 酸化에 의한 아크릴酸製造用 觸媒에는 Mo 및 V을 主成分으로 하는 觸媒가 압도적으로 많다.

近年에 特許出願<sup>61,62,63,64,65,66)</sup> 되고 있는 觸媒는 모두가 Mo-V系 觸媒로서 助觸媒로 As, U,

Table 8. Catalytic Application of Heteropoly Acids and their Compounds

Type of Reaction	Examples	Sources
Hydration	(2-Me) propene + H <sub>2</sub> O → sec-ROH Mo <sub>12</sub> P, W <sub>12</sub> P 200 C, 280 KG	18
	propene + H <sub>2</sub> O → Me <sub>2</sub> CHOH W <sub>12</sub> Si 280 C, 250 KG	19
	C <sub>2</sub> to C <sub>4</sub> olefin + H <sub>2</sub> O → sec-ROH Mo <sub>12</sub> Si, Mo <sub>12</sub> P, W <sub>12</sub> P etc pH 2.8 to 4.5	20
	CH <sub>2</sub> CHCH <sub>2</sub> OH + H <sub>2</sub> O <sub>2</sub> → glycerol W <sub>12</sub> P	21
Polymerization	Olefin → polymer W <sub>12</sub> Si, 40 C	22
	C <sub>2</sub> to C <sub>3</sub> olefin → trimer, tetramer W <sub>12</sub> Si, W <sub>12</sub> P	23
	ethylene → poly-substituted aromatics	24
Hydrogenation	Benzene → Phenylcyclohexane Metal/W <sub>12</sub> Si/SiO <sub>2</sub> Catalyst	25
Esterification	Unsaturated acid → acid ester	26
olefin	Lower olefin W <sub>12</sub> P, H <sub>2</sub> O	
	Carboxylic acid → acid ester	27
	Olefin W <sub>12</sub> P	
Esterification	Terephthalic acid → Dimethyl ester	28
	Methanol Mo <sub>12</sub> Si	
Disproportionation	2-octene → C <sub>2</sub> to C <sub>12</sub> olefin	29
	1-octene NH <sub>4</sub> Bi phosphomolybdate	
Alkylation	Benzene → phenyldodecane	30, 31
	1-dodecene W <sub>12</sub> Si	
Decomposition	4-Me-5, 6-dihydro-2-H-pyran	
pyran	→ Isoprene W <sub>12</sub> P 300~500 C	32
Decomposition	Vinyl propionate → propionic anhydridn + acetaldehyde	33
acyl	Mo <sub>12</sub> P	
Oxidation (1)	naphthalene → phthalic anhydride	34
aromatics	Mo <sub>12</sub> P, Mo <sub>12</sub> Si	
	toluene, xylene → diphenylmethane	35
	K <sub>5</sub> CoO <sub>4</sub> W <sub>12</sub> O <sub>36</sub> H <sub>2</sub> O	
Oxidation (2)	butadiene → furan, maleic acid	36
	(NH <sub>4</sub> ) <sub>3</sub> Mo <sub>12</sub> PO <sub>40</sub>	
	(2-Me) propene → (meth)acrylic acid	37

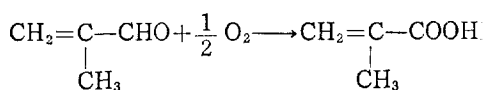
Type of Reaction	Examples	Sources
Oxidation (2)	$(\text{NH}_4)_3\text{Mo}_{12-x}\text{V}_x\text{PO}_{40}$ (2-Me) propene $\longrightarrow$ (meth) acrylic acid As <sub>2</sub> O <sub>5</sub> -Mo <sub>9</sub> Mn/SiO <sub>2</sub> As <sub>2</sub> O <sub>5</sub> -Mo <sub>6</sub> Cr/SiO <sub>2</sub> TeO <sub>2</sub> -Mo <sub>12</sub> P Bi <sub>2</sub> O <sub>3</sub> -W <sub>10</sub> V <sub>2</sub> Si propene $\longrightarrow$ acrolein W <sub>12</sub> As	38 39 40 41 42
Oxidation (3) aldehydes	acrolein $\longrightarrow$ acrylic acid Mo <sub>12</sub> P Mo <sub>12</sub> P or Bi, Sn salt Mo <sub>12</sub> As-V <sub>2</sub> O <sub>5</sub> heteropoly molybdates-VOSO <sub>4</sub> -Ce, Fe, Ag Mo <sub>12</sub> Ce-Bi	43 44 45, 46 47 48
Oxidative Dehydrogenation	$\begin{array}{c} \text{R}_1 \\   \\ \text{CH}-\text{CH}-\text{C}=\text{O} \\   \\ \text{R}_2 \\   \\ \text{R}_3 \end{array} \longrightarrow \begin{array}{c} \text{R}_1 \\   \\ \text{C}=\text{C}-\text{C}=\text{O} \\   \\ \text{R}_2 \\   \\ \text{R}_3 \end{array}$ R <sub>4</sub> : H, OH, OR Mo <sub>12</sub> Si, Mo <sub>12</sub> P $\text{CH}_3-\text{CH}_2-\text{CN} \longrightarrow \text{CH}_2=\text{CH}-\text{CN}$ Mo <sub>12</sub> P-Bi, Sn	49
Ammoxidation	(2-Me) propene $\longrightarrow$ (meth) acrylonitrile NH <sub>3</sub> , O <sub>2</sub> Mo <sub>12</sub> P Mo-As-P Mo <sub>12</sub> Si-Te, Fe Mo-V-P NH <sub>4</sub> salt-Te	51 52 53 54
Oxidative addition	ethylene + H <sub>2</sub> O + O <sub>2</sub> $\longrightarrow$ acetaldehyde PdCl <sub>2</sub> -Mo <sub>12</sub> P-TiO <sub>2</sub>	55

Al, W, Ag, Mn, Ge, Cu, Mg, Sr, Sn, Co 等이 사용되고 있다.

이소부텐의 氣相接觸酸化에 의한 메타크릴酸의 製造는 아세톤과 HCN을 原料로 하는 Acetocyanohydrin 法과 對抗할 수 있는 製法으로 오래전 부터 研究되어 왔다. 그러나 프로필렌의 一段 또는 二段 酸化에 의한 아크릴酸의 제조가 工業化에 成功한데 반하여 이소부텐의 酸化에 의한 메타크릴산의 製法은 아직 工業化되어 있지 못하다. 現在 까지의 研究 結果로는 이소부텐의 一段酸化에 의해 메타크릴酸의 收率을 높이는 것은 困難하다는 結論으로 二段酸化法을 前題로 한

메타크롤레인의 酸化에 의한 메타크릴酸의 合成에 대하여 主된 研究를 하고 있다.

메타크릴酸의 生成 反應式은 아래와 같다.



메타크롤레인은 反應性이 풍부한 알데하이드基와 メチル基를 갖고 있어서 메타크릴酸이 生成되기 위해서는 알데하이드基만을 選擇的으로 酸化할 필요가 있다. 따라서 高活性의 觸媒를 사용하면 觸媒 表面上에 强吸着 하던가 不可逆吸着現象을 일으켜 二重結合에 인접한 メチル基의

C-C 結合이 끊어져 副反應이 일어나기 쉽고 不可逆吸着은 觸媒上에서 吸着殘留物質이 되어 觸媒의 活性點을 감소시킬 수 있게 된다. 그러므로 이 反應에 適합한 觸媒를 開發하는 것이 이 製法의 成否를 좌우하게 된다.

現在 研究되고 있는 메타크롤레인의 酸化觸媒로는 아크릴레인의 酸化觸媒를 改良하는 Mo-V系複合酸化物 觸媒와 헤테로폴리브네酸系 觸媒로 大別된다. 아크릴레인의 酸化에 사용되는

Mo-V系觸媒는 메타크롤레인을 산화하는 경우 反應性도 좋지 않고 反應溫度 역시 50~100°C. 정도 높으며 轉化率과 選擇度도 낮은 편이다. 메타크롤레인의 酸化用으로 改良된 Mo-V系觸媒에는 Mo-V-Ni-Tl<sup>66)</sup>, Mo-V-Ni-Pb<sup>67)</sup>, Mo-V-Ni-Tl-Zr<sup>68)</sup> 等의 觸媒가 있으나 아직까지 만족스러운 結果를 얻지 못하고 이 系統의 觸媒開發에 대한 特許出願이 점차 갖소하는 경향을 보인다. 한편 헤�테로폴리酸系化合物과 헤�테로폴

Table 9. Reaction Conditions and Catalysts on the Oxidation of Methacrolein

Catalyst Formula	Kinds of Elements			Compositions of Reactants		React- ion temp. (°C)	Conv. %	Select. %	Comp- any	Sou- rces	
	X	Y	Z	Methac- rolein	O <sub>2</sub>	N <sub>2</sub>					
Mo <sub>12</sub> P <sub>a</sub> Ti <sub>b</sub> X <sub>c</sub> Y <sub>d</sub> O <sub>e</sub>	V, Nb, Ta	Tl, K		1	1.6	24	350~370	83~88	78~87	住友	75
Mo <sub>12</sub> P <sub>a</sub> Sn <sub>b</sub> X <sub>c</sub> Y <sub>d</sub> O <sub>e</sub>	V, Nb, Ta	Cs, Tl, K		1	1.6	24	330~360	82~90	71~77	"	76
Mo <sub>12</sub> P <sub>a</sub> Bi <sub>b</sub> X <sub>c</sub> Y <sub>d</sub> O <sub>e</sub>	V, Ta	Cs, Tl, K		1	1.6	24	320~355	75~88	56~88	"	77.78:
Mo <sub>12</sub> P <sub>a</sub> V <sub>b</sub> Mn <sub>c</sub> X <sub>d</sub> O <sub>e</sub>	K, Rh, Cs			4.6	7	28	340	72~85	70~88	日本合 成ゴム	79
Mo <sub>12</sub> P <sub>a</sub> Cs <sub>b</sub> Sn <sub>c</sub> X <sub>d</sub> O <sub>e</sub>	Ni, Co, Fe, V, Nb, Tl, Se, In			4	10	56	340	71~97	63~82	旭硝子	80
Mo <sub>12</sub> P <sub>a</sub> Tl <sub>b</sub> X <sub>c</sub> Y <sub>d</sub> O <sub>e</sub>	Zr, Ni, Nb, Ta	Fe, V, Se, Sn		4	10	56	340	60~97	60~82	"	81, 82:
Mo <sub>12</sub> P <sub>a</sub> X <sub>b</sub> Y <sub>c</sub> O <sub>d</sub>	K, Cs, Rb, Tl	Ni, Sn, V, In		4	10	56	340	60~80	70~85	"	83
Mo <sub>12</sub> P <sub>a</sub> Tl <sub>b</sub> V <sub>c</sub> Cu <sub>d</sub> O <sub>e</sub>	Tl, Cs, K			1	1.6	24	325~350	80~82	75~81	住友	84
Mo <sub>12</sub> P <sub>a</sub> V <sub>b</sub> Fe <sub>c</sub> X <sub>d</sub> O <sub>e</sub>	Tl, Cs, K			1	1.6	24	325~350	82~92	70~82	"	85
Mo <sub>12</sub> P <sub>a</sub> Cs <sub>b</sub> Ti <sub>c</sub> X <sub>d</sub> O <sub>e</sub>	V, Nb, Tl			1	1.6	24	350~365	86~89	71~80	"	86
Mo <sub>12</sub> P <sub>a</sub> Bi <sub>b</sub> Sb <sub>c</sub> X <sub>d</sub> Y <sub>e</sub> O <sub>f</sub>	K, Rh, Cs, Tl	Co, Zn, Nb		5	10	55	315~320	82~84	82~84	三菱レ イヨン	87
Mo <sub>12</sub> P <sub>a</sub> Rh <sub>b</sub> Cr <sub>c</sub> X <sub>d</sub> Y <sub>e</sub> O <sub>f</sub>	K, Rh, Cs, Tl	V, Nb, Ta, Mn, U, Fe, Co, Ni, Zn, Sb		5	10	55	275~285	75~83	82~86	"	88
Mo <sub>12</sub> P <sub>a</sub> X <sub>b</sub> Y <sub>c</sub> Z <sub>d</sub> O <sub>e</sub>	K, Rb, Cs, Tl	V, Nb	U, Cu, Ni, Sb, Si, Mn	5	10	55	330~340	79~83	79~81	"	89
Mo <sub>12</sub> P <sub>a</sub> V <sub>b</sub> Cr <sub>c</sub> X <sub>d</sub> Y <sub>e</sub> Z <sub>f</sub> O <sub>g</sub>	Mg, Ca	K, Rb, Cs, Tl	Al, Sb, Se, Cd, Bi, Ta	5	10	55	260~280	80~84	84~88	"	90
Mo <sub>12</sub> P <sub>a</sub> V <sub>b</sub> Ce <sub>c</sub> Cu <sub>d</sub> X <sub>e</sub> O <sub>f</sub>	Mn, Fe, Co, Sn, Te			5	12	48	280	75~90	70~80	東洋曹達	91
Mo <sub>12</sub> P <sub>a</sub> V <sub>b</sub> W <sub>c</sub> X <sub>d</sub> O <sub>e</sub>	Rb, Sn, Sb, Bc, Cd, Fe, Sr						330~420	57~96	30~76	standard oil	92
Mo <sub>12</sub> P <sub>a</sub> X <sub>b</sub> Y <sub>c</sub> O <sub>d</sub>	Mg, Ca, Ba, Sr	Ca, Sr, Zn, Ba		4	6	48	310~360	85~92	51~79	理化學 研究所	93

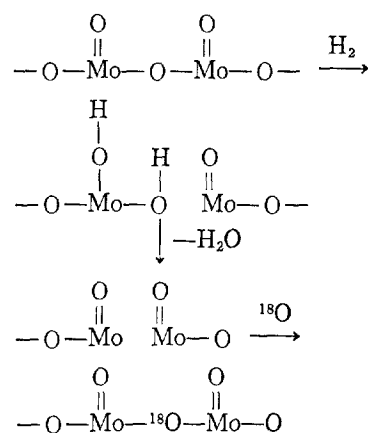
리酸을 바탕으로 하는 Mo 系 酸化物 触媒에 의한 메타크롤레인의 酸化에 關한 特許는 점차 增加 追勢에 있고 이에 關한 研究는 主로 日本에서 가장 활발한 것으로 알려져 있다. 最近에 出願된 特許를 分類해서 整理하면 Table 9 과 같다.

이와 같은 實用的인 酸化觸媒로서의 開發研究와 併行하여 酸化觸媒로서 해테로폴리化合物이 갖는 特殊性을 조사하려는 基礎研究도 活發하다.

Yoneda 팀은 FT-IR 을 이용한 피리딘 吸着法으로 12-몰리브도린酸에는 Lewis 酸이 거의 없고 Brøsted 酸이 대부분이라고 發表<sup>69)</sup>하였으며, 300°C 이하에서는 水和와 脱水가 可逆的으로 進行되고 300°C 가 넘으면 非可逆의이라고 報告<sup>70)</sup>하고 있다. 또한 이들은 이 측면의 表面積과 氣孔分布가 脱水와 관계가 있으며 水和와 脱水가 可逆의인 溫度範圍에서 触媒의 表面積도 可逆의임을 보여 주고 있다(Fig. 11).

酸化物 触媒上에서 空氣酸化하는 경우 酸化를 시키는 酸素가 格子酸素인가 또는 吸着酸素인가를 究明하기 위한 研究로서 H<sub>2</sub> 와 <sup>18</sup>O 를 利用한 酸化還元 實驗結果 Tsuneki<sup>71,72)</sup> 는 다음과 같은 反應機構에 의해 <sup>18</sup>O 이 格子酸素로 치환되는 것으로 확인하여 酸化를 시키는 酸素가 格子

酸素인 것으로 주장하고 있다.



이와 유사한 結論은 Misono<sup>73)</sup> 등에 의해서도 주장되고 있다.

또한 Misono<sup>73)</sup> 등은 Pulse 法으로 H<sub>2</sub><sup>18</sup>O 을 사용하여 아크롤레인과 反應시킨 結果 生成物과 未反應物인 아크롤레인에 均一하게 약 20%가 <sup>18</sup>O 이 含有되어 있는 것으로 부터 CH<sub>2</sub>=CHCH(OH)<sub>2</sub> 가 中間生成物인 것으로 추정하고 메타크롤레인의 酸化에서도 물이 重要한 役割을 하며 다음과 같은 反應機構를 내세우고 있다.

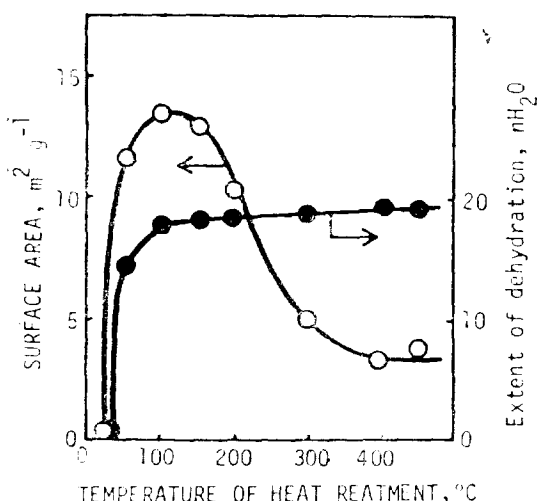
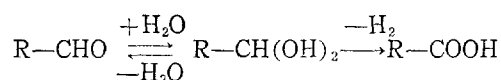


Figure 11. Surface Area and Extent of Dehydration of 12-molybdophosphoric acid treated at Various Temperatures

12-몰리브도린酸을 触媒로 한 메타크롤레인의 酸化에서 格子酸素가 反應에 참여한다는 것은 流通式反應器를 사용한 未發表報告<sup>74)</sup>에서 산소농도에 대한 依存度가 0次라는 사실로도 뒷바침되고 있으며 同一한 實驗結果 물을 사용한 경우와 사용하지 않은 경우에 메타크릴酸의 選擇度가 상당한 差異가 있는 것으로 부터 메타크롤레인의 酸化에 물이 重要한 役割을 하는 것을 증명하고 있다.

最近의 動向으로 보아 해테로폴리化合物에 대한 基礎研究와 實用研究가 계속 활발하게 이루어 질 것으로 기대되어 메타크롤레인의 酸化에 의한 메타크릴酸의 製法이 곧 工業化될 것으로 展望된다.

## References

1. J.F. Keggin, Proc. Roy. Soc. Ser. A 144, 75(1934).
2. G.A. Tsigdinos, Molybdenum Chemicals, Climax Molybdenum Co., (1969).
3. 佐佐木行業, 松本和子, ヘテロポリ酸の化學, 化學の領域, 29(12), 885 (1975).
4. 大竹正之, 小野田武, 觸媒, 18(6), 169(1976).
5. 大竹正之, "Catalysis over Heteropoly Acids," Doctoral Dissertation, (1976).
6. C.J. Hallada, et al, J. Phys. Chem. 72, 4304(1968).
7. 日本化學會, 新實驗化學講座, 8券, 1409.
8. D.P. Smith and M.T. Pope, Inorganic Chem., 12(2), 331(1973).
9. G.A. Tsigdinos and C.J. Hallada, Inorg. Chem., 7(3), 437(1968).
10. G.A. Tsigdinos, Ind. Eng. Chem. Prod. Res. Develop. 13(4), 267(1974).
11. L.C.W. Baker, et al., J. Am. Chem. Soc., 77, 2136(1955).
12. G. Brauer, Handbook of Preparative Inorg. Chem. 2nd ed., Vol. 2, Academic Press., N.Y. 1698~1740. (1965).
13. Inorg. Syn. Vol. 1, 127 Mc Graw Hill Co., N.Y. (1939).
14. L.C.W. Baker, et al, J. Am. Chem. Soc., 72, 2374(1950).
15. G. Lange, et al., Z. Naturforsch, 24b, 1498(1969).
16. M. Furuta, M. Misono, and Y. Yoneda, The 37 th Natl. Meeting of the Chem. Soc. of Japan, 3Q 14 Yokohama, 1978.
17. 坂田勘治, 御圖生誠, 米田幸夫, 第43回日本觸媒討論會. 3Q 17(1978), 名古屋.
18. Ger. Offen. 1,954,986 (Celanese Co.)
19. Japan Kokai 1972-30,608(Tokuyama Soda Co.)
20. Japan-Kokai 1972-31,908, 31,909, 31,910 (Tokuyama Soda Co.)
21. Przemysl. Chem. 41, 251 (1962) and Chem. Abst. 58-11202e.
22. U.S. 2,982,799(Shell Oil Co.)
23. 5yi Mezhdunar. Neft. Kongr. 1959, Moscow, and Chem. Abst. 58-393 d.
24. World Petrol Congr., Proc. 5 th., N.Y. 1959.
25. Belg. 619,012(Stami Carbon).
26. Japan Kokai 1973-39,425(Asahi Kasei Ind.)
27. Ger. Offen. 1,954,986(Celanese Co.)
28. Japan 1971-18,743(Mitsui Petrochem.)
29. U.S. 3,511,890(Phillips Petrol.)
30. Ind. Eng. Chem. 10(2), 272(1971).
31. Am. Chem. Soc., Div. Petrol. Chem. 14 (3), A 115, (1969).
32. Japan Kokai 1972-18,804(Kuraray)
33. Japan Kokai 1973-26,718(Knapsack Co.).
34. J. Am. Chem. Soc. 62, 2312(1940).
35. Chem. Comm. 1969, 352, and J. Org. Chem. 35, 1797 (1940).
36. Japan Kokai 1973-38,292(Toa Gosei).
37. Fr. 1,533,971(SNPA).
38. U.S. 3,359,309(Eastman Kodak).
39. U.S. 3,437,690(Eastman Kodak).
40. U.S. 3,192,259 and Fr. 1,342,962(Shell Internatl. Res.).
41. U.S. 3,260,753(Eastman Kodak).
42. Belg. 635,077(Union Chimique).
43. U.S. 3,395,178(Standard Oil Co., Ohio).
44. U.S. 2,881,212(Standard OilCo., Ohio).
45. Japan 1970-16,096(Toa Gosei).
46. Japan 1972-30,315(Toa Gosei).
47. Belg. 620,549(Hoechst).
48. Fr. 1,343,565(Eastman Kodak).
49. Brit. 1,124,797(C.H. Tipper).
50. Japan 1969-15,765(Asahi Kasei Ind.).
51. Japan 1968-26,288(Nihon Min. Oil Co.)
52. U.S. 3,379,652(Eastman Kodak).
53. Fr. 1,560,495(SNPA).
54. Ger. Offen. 1,930,883(SNPA).
55. Fr. 1,359,141(Eastman Kodak).
56. 丹羽幹, et al, 日本化學會誌, 1973(4), 661

- (1973).
57. V.K. Sharchenko, Inter. Chem. Eng. 9, 1 (1969).
58. 大原 降, 觸媒 19(3), 157(1977).
59. 日本特公 47-42241(1971).
60. 日本特公 47-27490(1971).
61. 日本特公 44-26287(1968).
62. 日本特公 47-24355(1971).
63. 日本特公 48-19296(1972).
64. 日本特公 49-11371(1973).
65. 日本特開 50-67293(1974).
66. 日本特開 49-6118(1973).
67. 日本特公 49-11686(1973).
68. 日本特公 48-34580(1972).
69. 古田元信, 御園生誠, 米田幸夫, 第43回 日本觸媒討論會, 3016(1978), 名古屋.
70. Yukio Yoneda, et al, Chemistry Letters, 709(1978).
71. Hideaki Tsuneki, et al, Chemistry Letters, 645(1978).
72. ibid, 1183(1978).
73. 御園生 誠, et al, 觸媒, 21(4), 307(1979).
74. 李華榮, 御園生 誠, 米田幸夫, "7 th Inter. Cong. on Catalysis" (1980)에 발표 예정.
75. 日本特開 52-25715(1977).
76. 日本特開 52-25716(1977).
77. 日本特開 52-33615(1977).
78. 日本特開 52-33616(1977).
79. 日本特開 52-46015(1977).
80. 日本特開 52-48618(1977).
81. 日本特開 52-51315(1977).
82. 日本特開 52-51319(1977).
83. 日本特開 52-57117(1977).
84. 日本特開 52-53811(1977).
85. 日本特開 52-62220(1977).
86. 日本特開 52-17419(1977).
87. 日本特開 52-68121(1977).
88. 日本特開 52-68120(1977).
89. 日本特開 52-68122(1977).
90. 日本特開 52-85114(1977).
91. 日本特開 52-95609(1977).
92. 日本特開 51-115416(1976).
93. 日本特開 52-91820(1977).